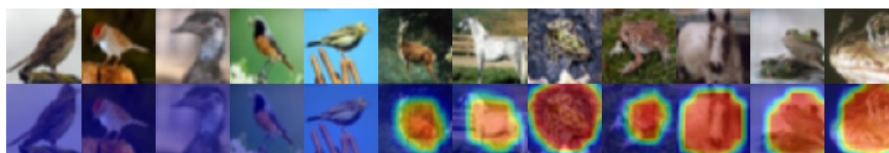


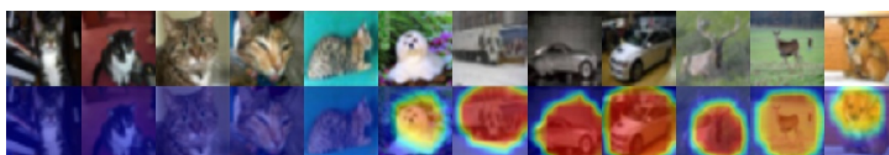
図A16：CIFAR-10における航空機の異常検出結果。上から下へ：ADTRのサンプルと異常スコアマップ。最初の列から5番目の列までの画像は正常なサンプルです。



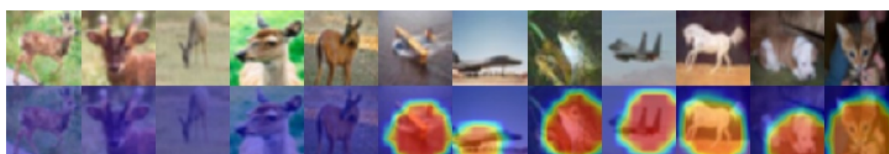
図A17：CIFAR-10における自動車の異常検出結果。上から下へ：ADTRのサンプルと異常スコアマップ。1列目から5列目までの画像は正常なサンプルです。



図A18：CIFAR-10における鳥の異常検出結果。上から下へ：ADTRのサンプルと異常スコアマップ。1列目から5列目までの画像は正常なサンプルです。



図A19：CIFAR-10における猫の異常検出結果。上から下へ：ADTRのサンプルと異常スコアマップ。1列目から5列目までの画像は正常なサンプルです。



図A20：CIFAR-10におけるシカの異常検出結果。上から下へ：サンプルとADTRの異常スコアマップ。1列目から5列目までの画像は正常なサンプルです。

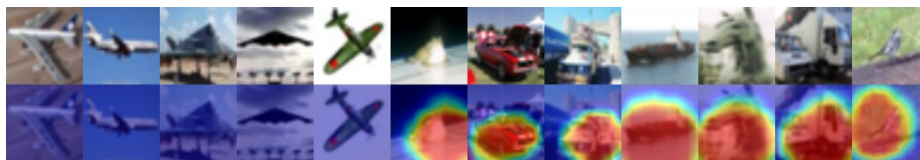


Fig. A16: Anomaly detection results of airplane on CIFAR-10. From top to down: samples and the anomaly score maps of ADTR. Images from the first column to the fifth column are normal samples.



Fig. A17: Anomaly detection results of automobile on CIFAR-10. From top to down: samples and the anomaly score maps of ADTR. Images from the first column to the fifth column are normal samples.

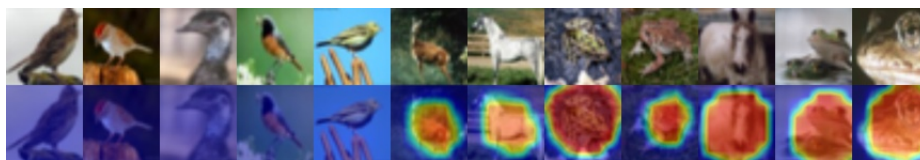


Fig. A18: Anomaly detection results of bird on CIFAR-10. From top to down: samples and the anomaly score maps of ADTR. Images from the first column to the fifth column are normal samples.

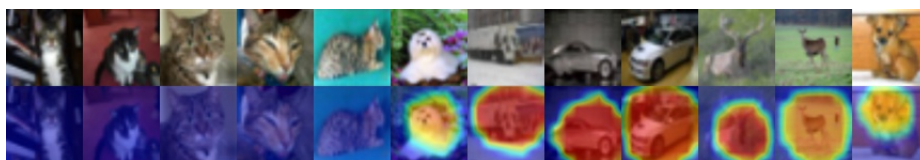


Fig. A19: Anomaly detection results of cat on CIFAR-10. From top to down: samples and the anomaly score maps of ADTR. Images from the first column to the fifth column are normal samples.

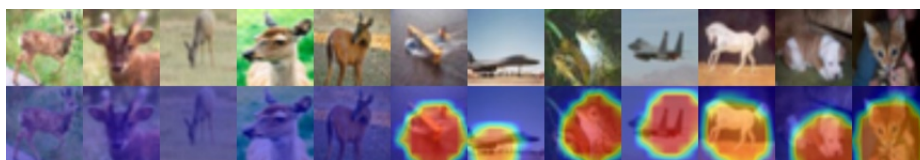


Fig. A20: Anomaly detection results of deer on CIFAR-10. From top to down: samples and the anomaly score maps of ADTR. Images from the first column to the fifth column are normal samples.